

Courbes de Bézier

Base de Bernstein de degré n

Fonctions de base des polynômes de degré n :

$$B_i^n(t) = C_n^i t^i (1-t)^{n-i} = \frac{n!}{i!(n-i)!} t^i (1-t)^{n-i} \quad \forall t \in [0, 1] \text{ et } 0 \leq i \leq n$$

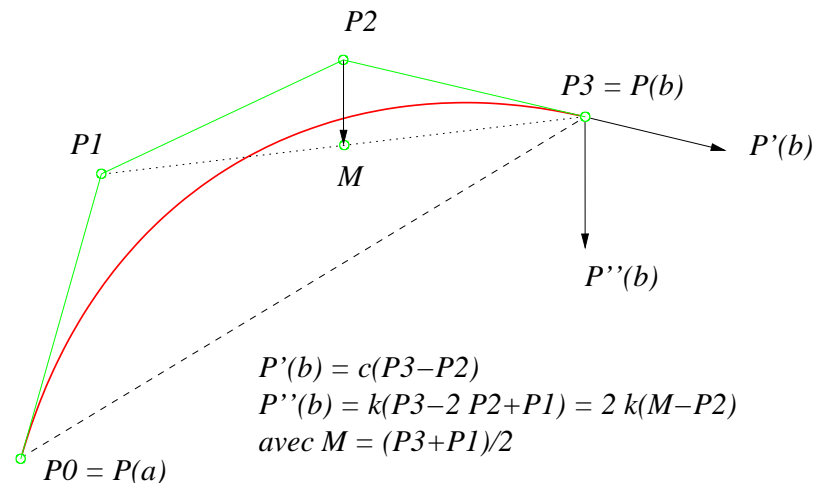
Courbe de Bézier

Courbe \mathcal{C} paramétrée polynomiale de degré n : $\mathcal{C} = \left\{ P(t) = \sum_{i=0}^n P_i B_i^n(t), t \in [0, 1] \right\}$

$\{P_0, P_1, \dots, P_n\}$ polygone de contrôle de la courbe \mathcal{C}

$$\mathcal{C} = \left\{ P(u) = \sum_{i=0}^n P_i B_i^n \left(\frac{u-a}{b-a} \right), u \in [a, b] \right\} : t = \frac{u-a}{b-a} \in [0, 1]$$

Quelques propriétés géométriques

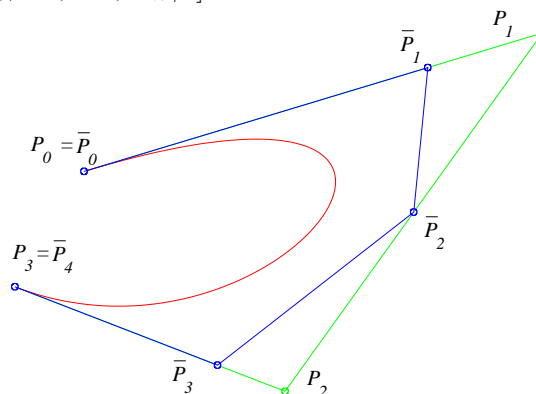


Elévation de degré

$$\bar{P}_i = \frac{i}{n+1} P_{i-1} + \frac{n+1-i}{n+1} P_i \text{ pour } 0 \leq i \leq n+1$$

Courbe $[P_0, P_1, \dots, P_n] = \text{Courbe } [\bar{P}_0, \bar{P}_1, \dots, \bar{P}_{n+1}]$

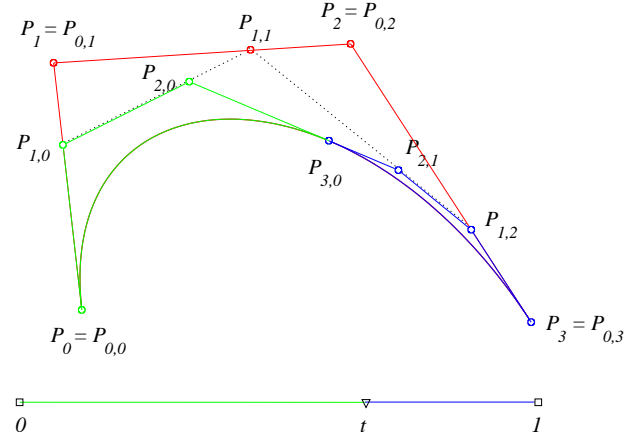
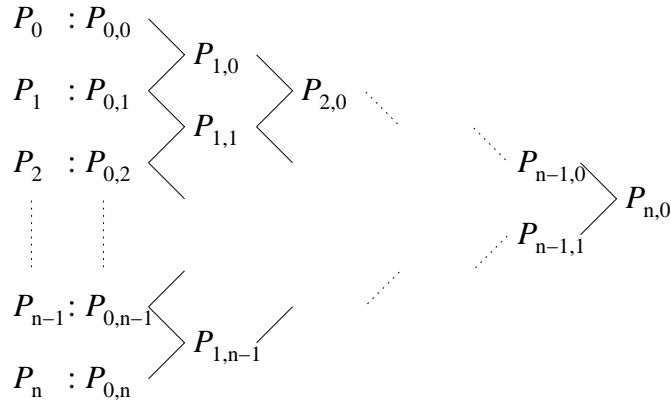
$$\begin{aligned} \bar{P}_0 &= \left(\begin{array}{cc} & 4P_0 \end{array} \right) / 4 = P_0 \\ \bar{P}_1 &= \left(\begin{array}{cc} 1P_0 & + \quad 3P_1 \end{array} \right) / 4 \\ \bar{P}_2 &= \left(\begin{array}{cc} 2P_1 & + \quad 2P_2 \end{array} \right) / 4 \\ \bar{P}_3 &= \left(\begin{array}{cc} 3P_2 & + \quad 1P_3 \end{array} \right) / 4 \\ \bar{P}_4 &= \left(\begin{array}{cc} 4P_3 & \end{array} \right) / 4 = P_3 \end{aligned}$$



Algorithme de De Casteljaeu

Données : Polygone de contrôle $\{P_0, P_1, \dots, P_n\}$ et $t \in]0, 1[$

- (1) $P_{0,i} = P_i$ pour $0 \leq i \leq n$
- (2) $P_{j,i} = (1-t) P_{j-1,i} + t P_{j-1,i+1}$ pour $0 \leq i \leq n-j$ et $1 \leq j \leq n$



(a) $P_{n,0} = P(t)$

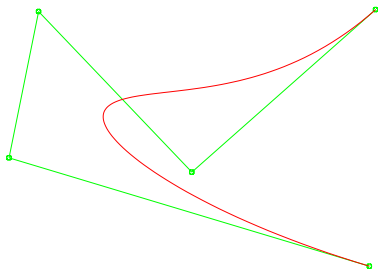
(b1) $\{P_{0,0}, P_{1,0}, \dots, P_{n,0}\} = \{P_{i,0}\}_{0 \leq i \leq n}$:

polygone de contrôle de la partie de la courbe \mathcal{C} correspondant à $s \in [0, t]$

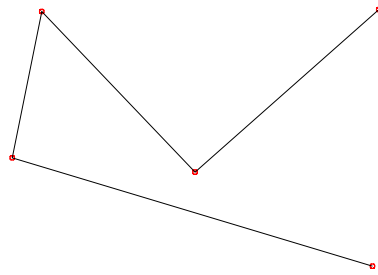
(b2) $\{P_{0,n}, P_{1,n-1}, \dots, P_{n,0}\} = \{P_{i,n-i}\}_{0 \leq i \leq n}$:

polygone de contrôle de la partie de la courbe \mathcal{C} correspondant à $s \in [t, 1]$

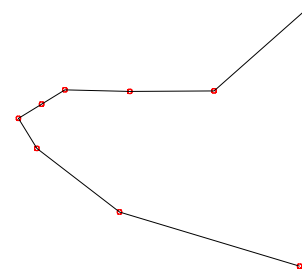
(c) Subdivisions successives : convergence des polygones de contrôle vers la courbe \mathcal{C}



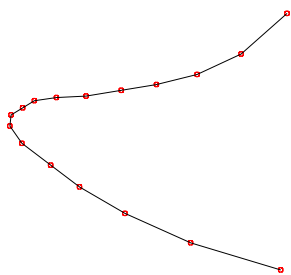
Polygone initial et courbe



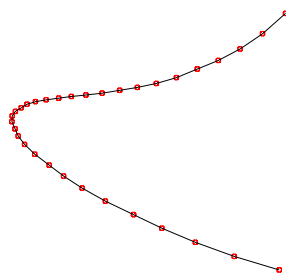
Subdivision 0



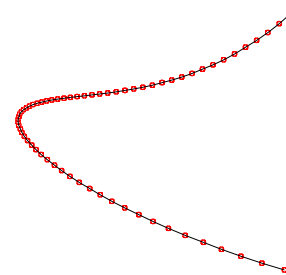
Subdivision 1



Subdivision 2



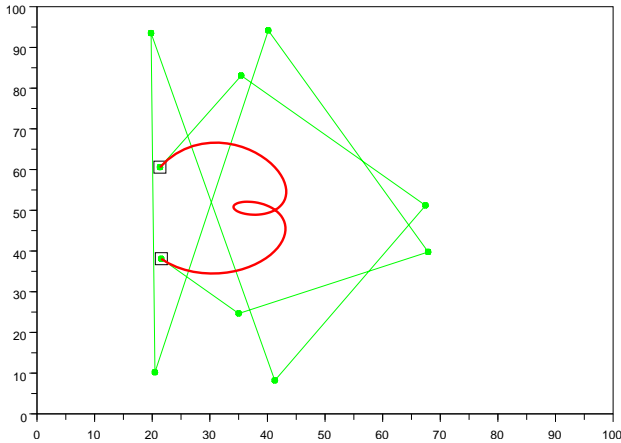
Subdivision 3



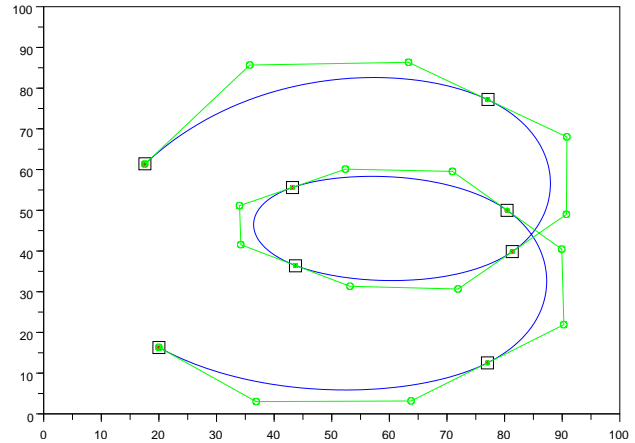
Subdivision 4

Courbes composites

Modélisation de formes complexes



Une seule courbe de Bézier (degré 9)



Plusieurs courbes de Bézier (degré 3)

Raccordement de courbes de Bézier

$$[P_0, P_1, \dots, P_n] \rightarrow \mathcal{C}_1 = \left\{ P(t) = \sum_{i=0}^n P_i B_i^n \left(\frac{t-a}{b-a} \right), t \in [a, b] \right\}$$

$$[Q_0, Q_1, \dots, Q_n] \rightarrow \mathcal{C}_2 = \left\{ Q(t) = \sum_{i=0}^n Q_i B_i^n \left(\frac{t-b}{c-b} \right), t \in [b, c] \right\} \quad a < b < c :$$

$$r_1 = b - a, r_2 = c - b, \lambda = \frac{r_1}{r_1 + r_2} = \frac{b-a}{c-a}, 1 - \lambda = \frac{r_2}{r_1 + r_2} = \frac{c-b}{c-a}$$

Raccordement C^0

$$P(b) = Q(b) \Rightarrow P_n = Q_0$$

Raccordement C^1

$$\text{Raccordement } C^0 +$$

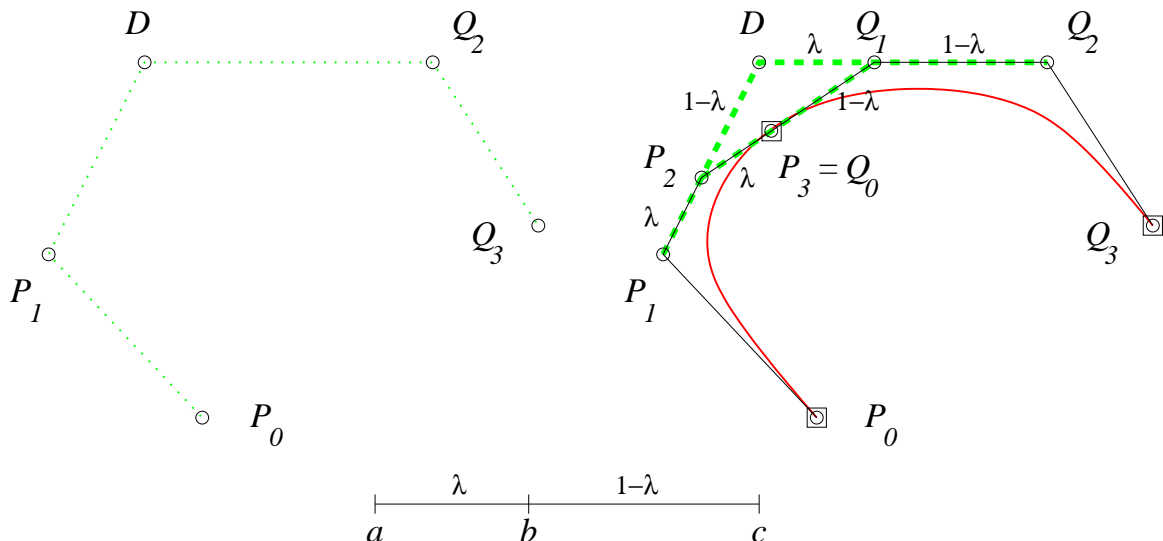
$$P'(b) = Q'(b) \Rightarrow P_n = (1 - \lambda)P_{n-1} + \lambda Q_1$$

Raccordement C^2

$$\text{Raccordement } C^1 +$$

$$P''(b) = Q''(b) \Rightarrow D = P_{n-1} + \frac{1-\lambda}{\lambda}(P_{n-1} - P_{n-2}) = Q_1 + \frac{\lambda}{1-\lambda}(Q_1 - Q_2)$$

$$\Leftrightarrow \begin{cases} P_{n-1} = (1 - \lambda)P_{n-2} + \lambda D \\ Q_1 = (1 - \lambda)D + \lambda Q_2 \end{cases}$$



B-splines

Base B-spline

Données : noeuds (abscisses) t_i avec $t_i < t_{i+1}$, $i \in \mathbb{Z}$

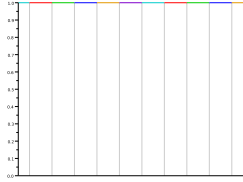
Ordre 1 (degré $d = 0$)

$$N_i^1(t) = \begin{cases} 1 & \text{si } t \in [t_i, t_{i+1}[\\ 0 & \text{sinon} \end{cases}$$

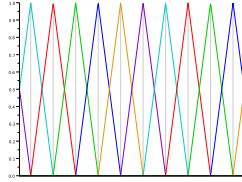
Ordre $k > 1$ (degré $d > 0$)

$$N_i^k(t) = \begin{cases} \frac{t - t_i}{t_{i+k-1} - t_i} N_i^{k-1}(t) + \frac{t_{i+k} - t}{t_{i+k} - t_{i+1}} N_{i+1}^{k-1}(t) & \text{si } t \in [t_i, t_{i+k}[\\ 0 & \text{sinon} \end{cases}$$

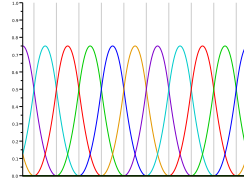
Cas noeuds équidistants



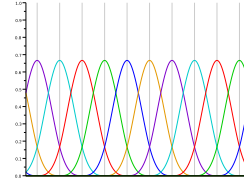
$k = 1$



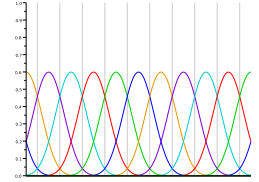
$k = 2$



$k = 3$

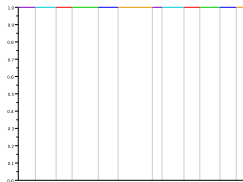


$k = 4$

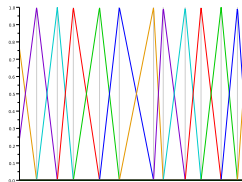


$k = 5$

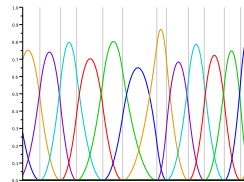
Cas noeuds quelconques



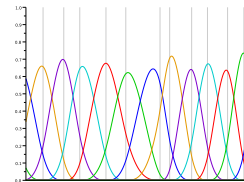
$k = 1$



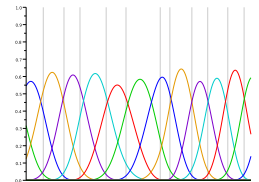
$k = 2$



$k = 3$



$k = 4$



$k = 5$

Base B-spline périodique

Données : $n + 1$ noeuds (abscisses) $t_0 < t_1 < \dots < t_n$

Période $T = t_n - t_0 \rightarrow t_{i+p n} = t_i + p T$, $0 \leq i \leq n - 1$, $p \in \mathbb{Z}$

Base B-spline avec noeuds confondus

Données : noeuds (abscisses) t_i avec $t_i \leq t_{i+1}$

Ordre $k > 1$

$$N_i^k(t) = \begin{cases} \frac{t - t_i}{t_{i+k-1} - t_i} N_i^{k-1}(t) + \frac{t_{i+k} - t}{t_{i+k} - t_{i+1}} N_{i+1}^{k-1}(t) & \text{si } t \in [t_i, t_{i+k}[, t_{i+k-1} > t_i \text{ et } t_{i+k} > t_{i+1} \\ \frac{t_{i+k} - t}{t_{i+k} - t_{i+1}} N_{i+1}^{k-1}(t) & \text{si } t \in [t_i, t_{i+k}[, t_{i+k-1} = t_i \text{ et } t_{i+k} > t_{i+1} \\ \frac{t - t_i}{t_{i+k-1} - t_i} N_i^{k-1}(t) & \text{si } t \in [t_i, t_{i+k}[, t_{i+k-1} > t_i \text{ et } t_{i+k} = t_{i+1} \\ 0 & \text{sinon} \end{cases}$$

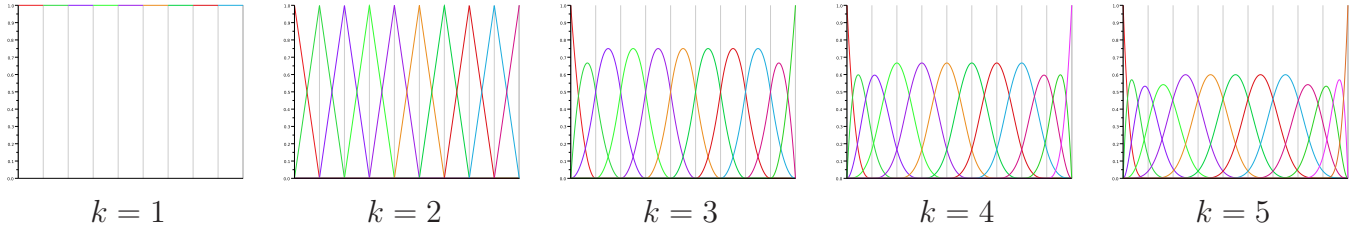
Base B-spline d'ordre k sur un intervalle borné $[a, b]$ et n intervalles

Noeuds $a = \tau_0 < \tau_1 < \dots < \tau_{n-1} < \tau_n = b$

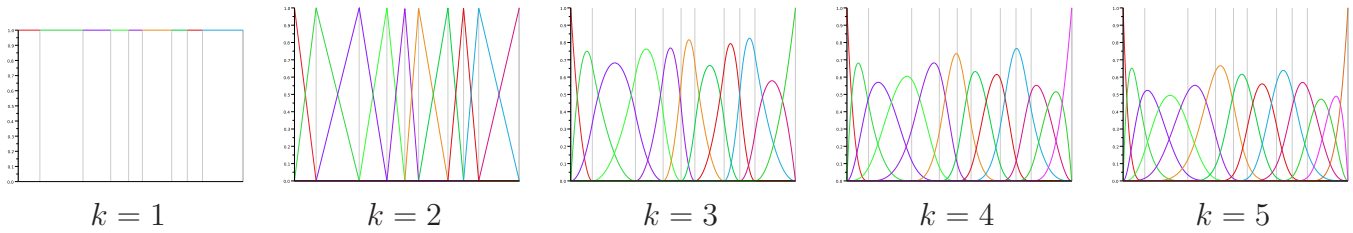
$\rightarrow t_1 = t_2 = \dots = t_k = \tau_0 < t_{k+1} = \tau_1 < \dots < t_{k+n-1} = \tau_{n-1} < t_{k+n} = t_{k+n+1} = \dots = t_{n+2k-1} = \tau_n$

n intervalles et $n + k - 1$ fonctions de base N_i^k

– Cas noeuds équidistants



– Cas noeuds quelconques



Algorithme de DeBoor-Cox

Données : Points de contrôle D_i et noeuds associés t_i , une valeur t , k ordre de la B-spline

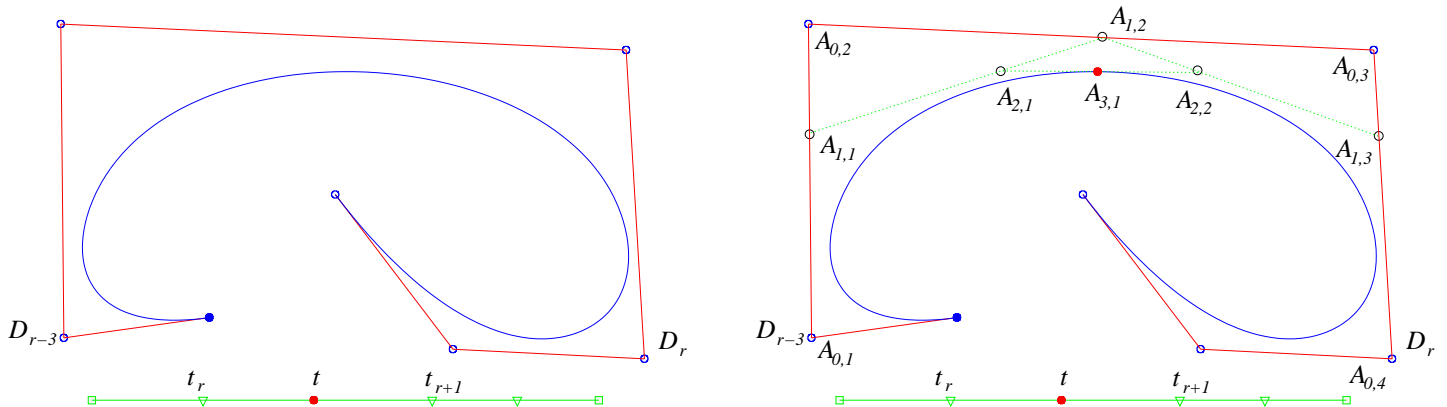
(1) trouver l'indice r tel que $t \in [t_r, t_{r+1}[$

(2) $A_{0,i} = D_{r+i-k}$ pour $1 \leq i \leq k$

(3) $A_{j,i} = (1 - \lambda)A_{j-1,i} + \lambda A_{j-1,i+1}$ avec $\lambda = \frac{t - t_{r+i-k+j}}{t_{r+i} - t_{r+i-k+j}}$ pour $1 \leq i \leq k - j$ et $1 \leq j \leq k - 1$

\rightarrow le point de la courbe B-Spline correspondant au paramètre t est $A_{k-1,1}$

Exemple avec $k = 4$



Insertion de noeuds

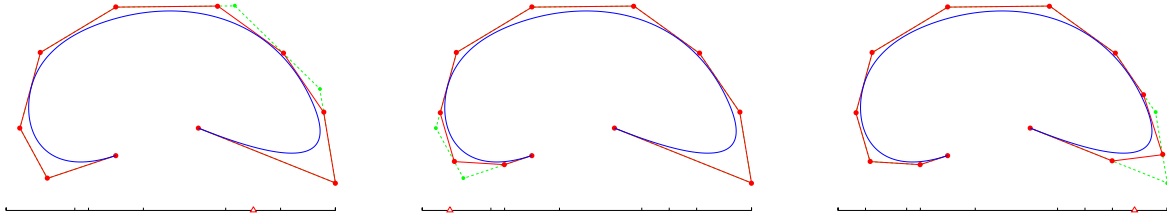
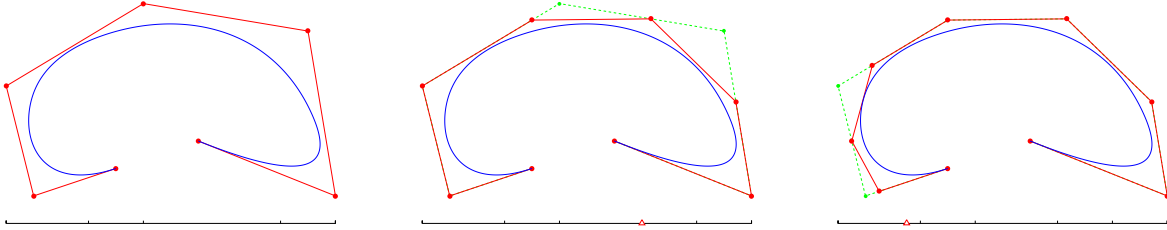
Données : Points de contrôle D_i et noeuds associés t_i , un noeud supplémentaire t , k ordre de la B-spline

(1) trouver l'indice r tel que $t \in [t_r, t_{r+1}[$

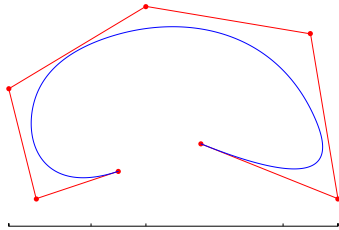
(2) $A_{0,i} = D_{r+i-k}$ pour $1 \leq i \leq k$

(3) $A_{1,i} = (1 - \lambda)A_{0,i} + \lambda A_{0,i+1}$ avec $\lambda = \frac{t - t_{r+i-k+1}}{t_{r+i} - t_{r+i-k+1}}$ pour $1 \leq i \leq k - 1$

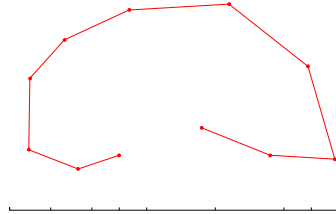
→ le polygone de contrôle correspondant à $\dots, t_{r-1}, t_r, t, t_{r+1}, t_{r+2}, \dots$ est $\dots, D_{r-k}, D_{r-k+1}, A_{1,1}, \dots, A_{1,k-1}, D_r, D_{r+1}, \dots$



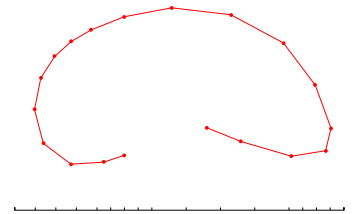
Subdivision



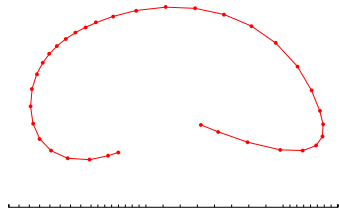
Polygone initial et courbe



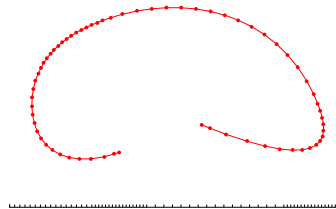
Polygone après 1 subdivision



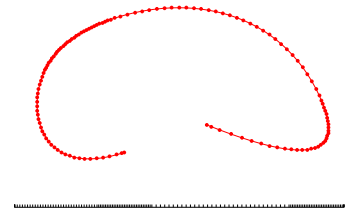
Polygone après 2 subdivisions



Polygone après 3 subdivisions



Polygone après 4 subdivisions



Polygone après 5 subdivisions

Surfaces produit tensoriel

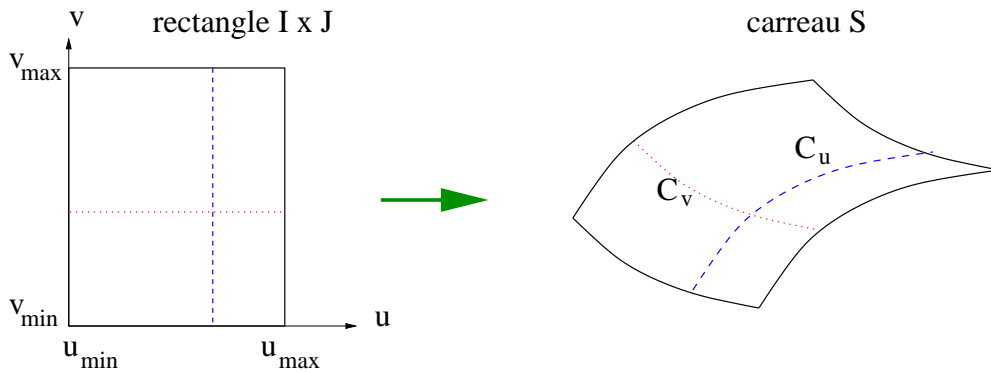
Cas général

$$\text{Surface } \mathcal{S} = \left\{ P(u, v) = \sum_{i=1}^m \sum_{j=1}^n C_{i,j} f_i(u) g_j(v), \quad u \in I = [u_{\min}, u_{\max}], \quad v \in J = [v_{\min}, v_{\max}] \right\}$$

$$P(u, v) = \begin{pmatrix} f_1(u) & f_2(u) & \dots & f_m(u) \end{pmatrix} \begin{pmatrix} C_{1,1} & C_{1,2} & \dots & C_{1,n} \\ C_{2,1} & C_{2,2} & \dots & C_{2,n} \\ \vdots & \vdots & \ddots & \vdots \\ C_{m,1} & C_{m,2} & \dots & C_{m,n} \end{pmatrix} \begin{pmatrix} g_1(v) \\ g_2(v) \\ \vdots \\ g_n(v) \end{pmatrix}$$

$\mathcal{C}_u = \{P(u, v), v \in J\}$ courbe à u constant

$\mathcal{C}_v = \{P(u, v), u \in I\}$ courbe à v constant

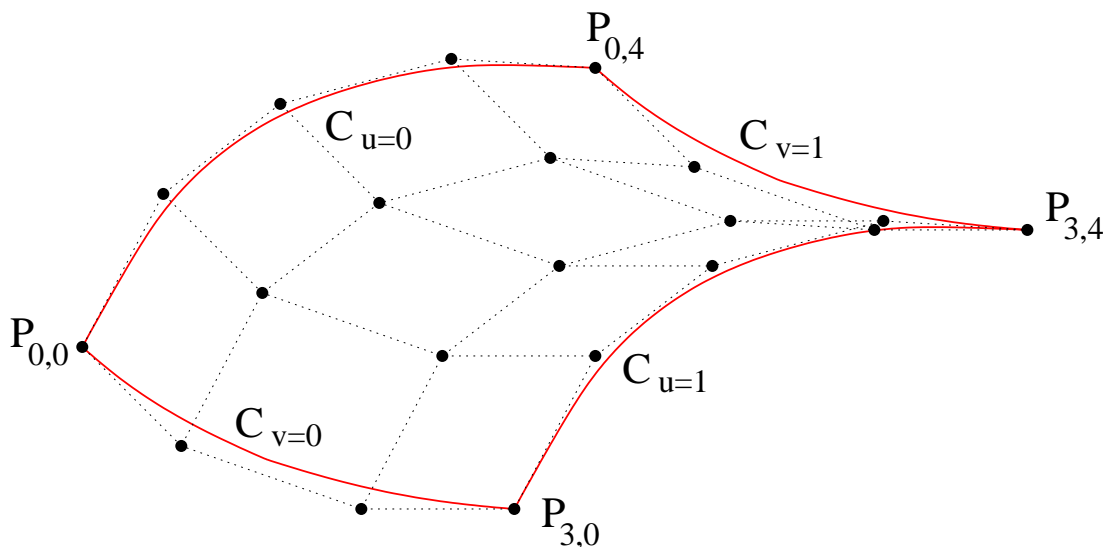


Carreau de Bézier

$$\text{Surface } \mathcal{S} = \left\{ P(u, v) = \sum_{i=0}^m \sum_{j=0}^n P_{i,j} B_i^m(u) B_j^n(v), \quad u \in [0, 1], \quad v \in [0, 1] \right\} \quad \text{cas polynomial}$$

$$\text{Surface } \mathcal{S} = \left\{ P(u, v) = \frac{\sum_{i=0}^m \sum_{j=0}^n \omega_{i,j} P_{i,j} B_i^m(u) B_j^n(v)}{\sum_{i=0}^m \sum_{j=0}^n \omega_{i,j} B_i^m(u) B_j^n(v)}, \quad u \in [0, 1], \quad v \in [0, 1] \right\} \quad \text{cas rationnel}$$

polyèdre de contrôle : $\{P_{i,j}\}_{0 \leq i \leq m, 0 \leq j \leq n}$
 (+ poids associés $\{\omega_{i,j}\}_{0 \leq i \leq m, 0 \leq j \leq n}$ pour le cas rationnel)



Carreau de Bézier de degré 3 en u et degré 4 en v

Propriétés (similaires aux courbes de Bézier)

$$\mathcal{S} \in \text{conv}(\{P_{i,j}\})$$

$$P(0,0) = P_{0,0}, P(1,0) = P_{m,0}, P(0,1) = P_{0,n}, P(1,1) = P_{m,n}$$

$$P'_u(u,v) = \frac{\partial P(u,v)}{\partial u} = \sum_{i=0}^{m-1} \sum_{j=0}^n m (P_{i+1,j} - P_{i,j}) B_i^{m-1}(u) B_j^n(v)$$

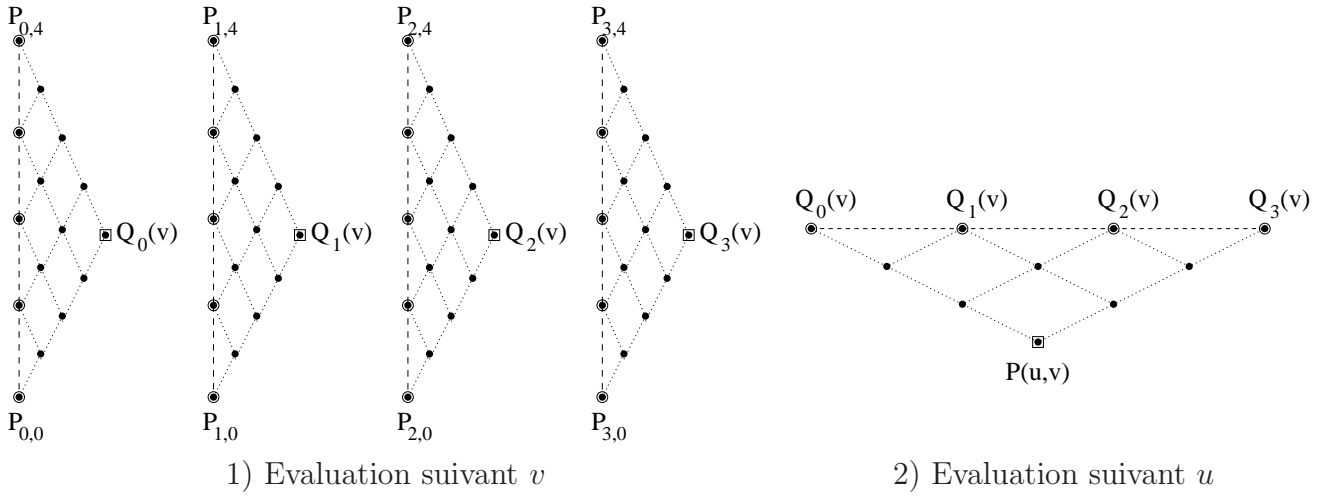
$$P'_v(u,v) = \frac{\partial P(u,v)}{\partial v} = \sum_{i=0}^m \sum_{j=0}^{n-1} n (P_{i,j+1} - P_{i,j}) B_i^m(u) B_j^{n-1}(v)$$

$$P''_{uv}(u,v) = \frac{\partial^2 P(u,v)}{\partial u \partial v} = \sum_{i=0}^{m-1} \sum_{j=0}^{n-1} m n (P_{i+1,j+1} - P_{i+1,j} - P_{i,j+1} + P_{i,j}) B_i^{m-1}(u) B_j^{n-1}(v)$$

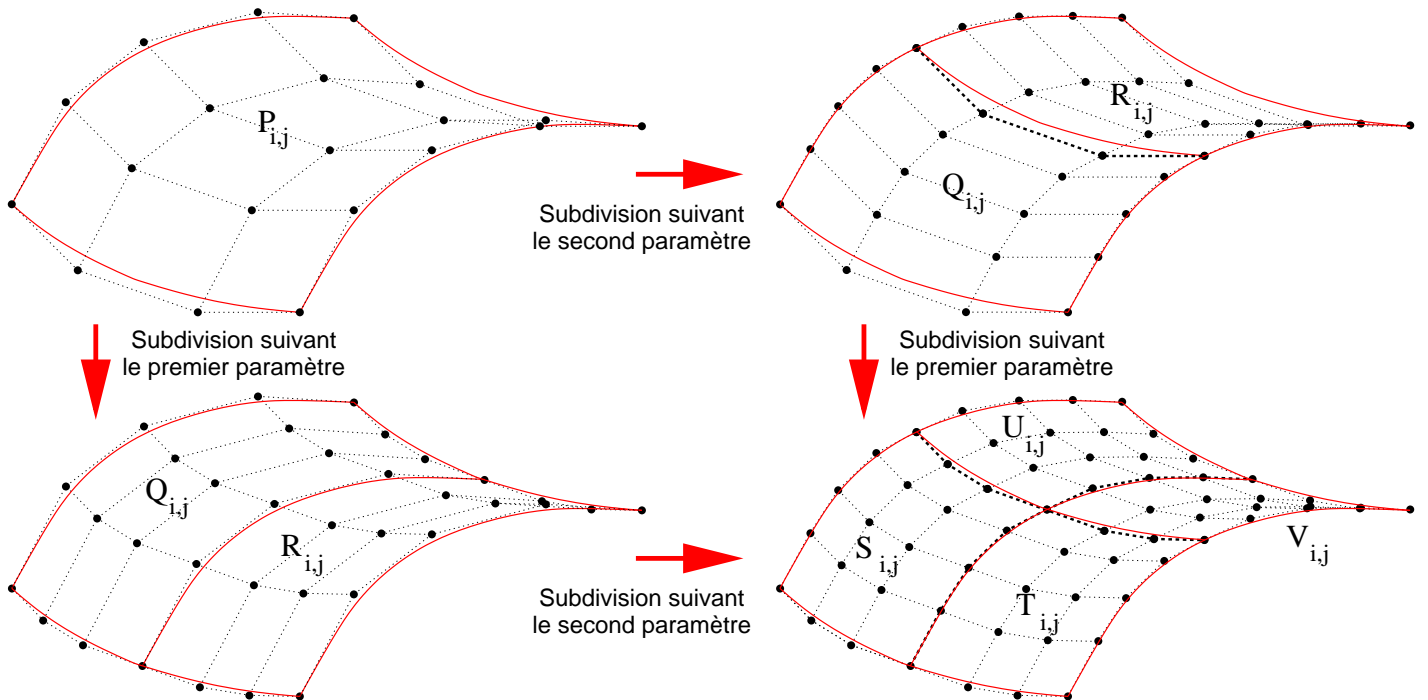
$$P'_u(0,0) = m (P_{1,0} - P_{0,0}) \quad P'_v(0,0) = n (P_{0,1} - P_{0,0})$$

$$P''_{uv}(0,0) = m n (P_{1,1} - P_{1,0} - P_{0,1} + P_{0,0}) \text{ (vecteur twist en } (0,0))$$

Evaluation



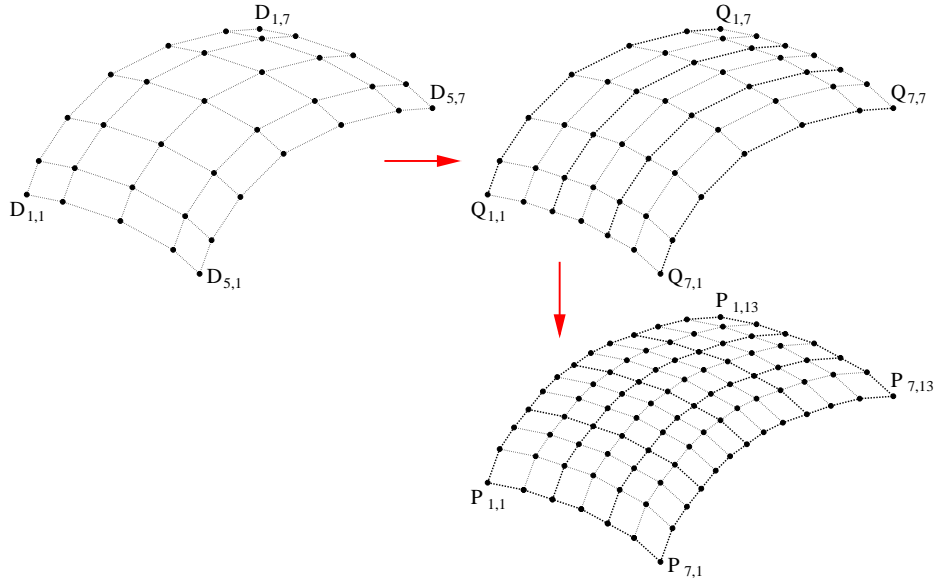
Subdivision



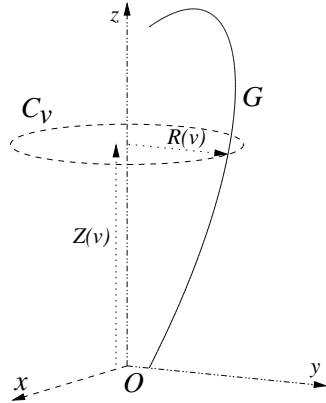
Carreau NURBS

Surface $\mathcal{S} = \left\{ P(u, v) = \frac{\sum_{i=1}^M \sum_{j=1}^N \omega_{i,j} D_{i,j} N_i^m(u) N_j^n(v)}{\sum_{i=1}^M \sum_{j=1}^N \omega_{i,j} N_i^m(u) N_j^n(v)} \right\}$	
ordre m (degré $du = m - 1$) en u vecteur de noeuds en $u : u_0, u_1, \dots, u_{nu}$	ordre n (degré $dv = n - 1$) en v vecteur de noeuds en $v : v_0, v_1, \dots, v_{nv}$
grille de $M \times N$ points $D_{i,j}$ et poids $\omega_{i,j}$ ($M = nu + du$, $N = nv + dv$)	

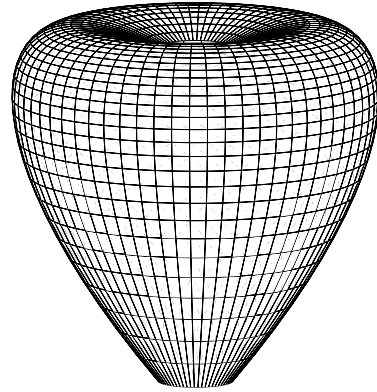
Passage à la forme Bézier



Surface de révolution



Révolution d'une courbe plane (génératrice) \mathcal{G}
autour de l'axe Oz



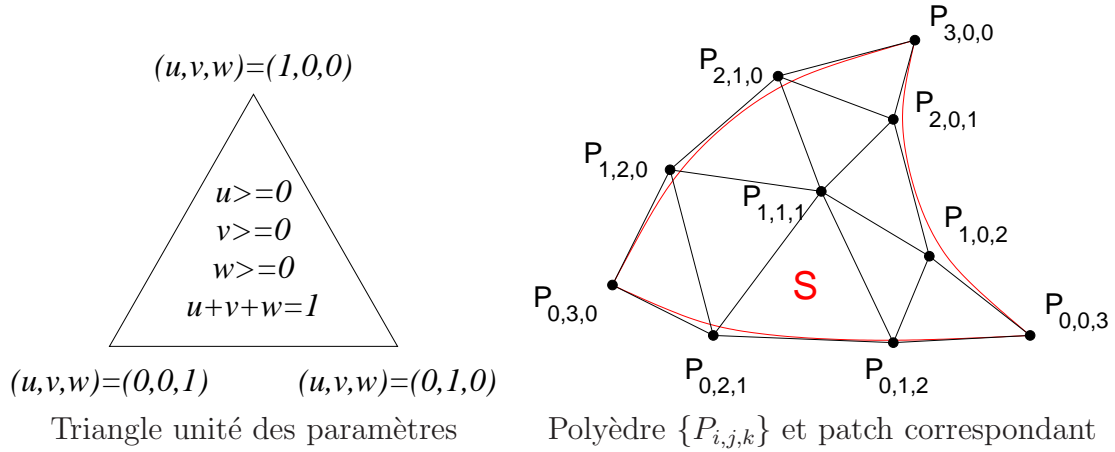
Surface de révolution \mathcal{S}

Cercle unité \mathcal{C} $\mathcal{C} = \{(X(u), Y(u)), u \in [a, b]\}$	Génératrice \mathcal{G} $\mathcal{G} = \{(R(v), Z(v)), v \in [c, d]\}$
Définition NURBS	
Points (X_i, Y_i) - poids W_i - vecteur de noeuds (u_k)	Points (R_j, Z_j) - poids Q_j - vecteur de noeuds (v_l)
Surface de révolution \mathcal{S} $\mathcal{S} = \{(x(u, v) = X(u)R(v), y(u, v) = Y(u)R(v), z(u, v) = Z(v)), (u, v) \in [a, b] \times [c, d]\}$	
Définition NURBS	
Points $D_{i,j} = (X_i R_j, Y_i R_j, Z_j)$ - poids $\omega_{i,j} = W_i Q_j$ - vecteurs de noeuds (u_k) et (v_l)	

Patch de Bézier triangulaire

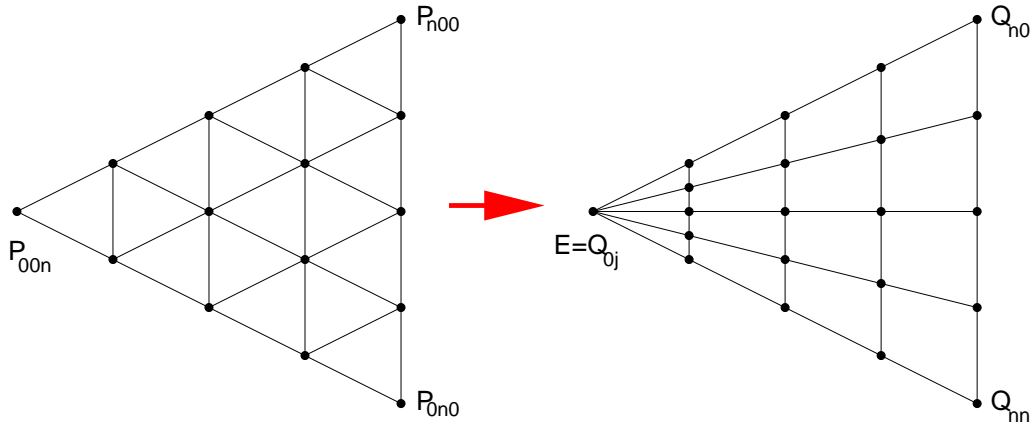
$$\text{Surface } \mathcal{S} = \left\{ P(u, v, w) = \sum_{\substack{i, j, k \geq 0 \\ i + j + k = n}} P_{i,j,k} B_{i,j,k}^n(u, v, w), \quad u, v, w \geq 0, u + v + w = 1 \right\}$$

$$\left. \begin{array}{l} \text{fonctions de base : } B_{i,j,k}^n(u, v, w) = \frac{n!}{i!j!k!} u^i v^j w^k \\ \text{points de contrôle : } \{P_{i,j,k}\} \end{array} \right\} \quad i, j, k \geq 0, i + j + k = n$$



Passage à la forme Bézier rectangulaire

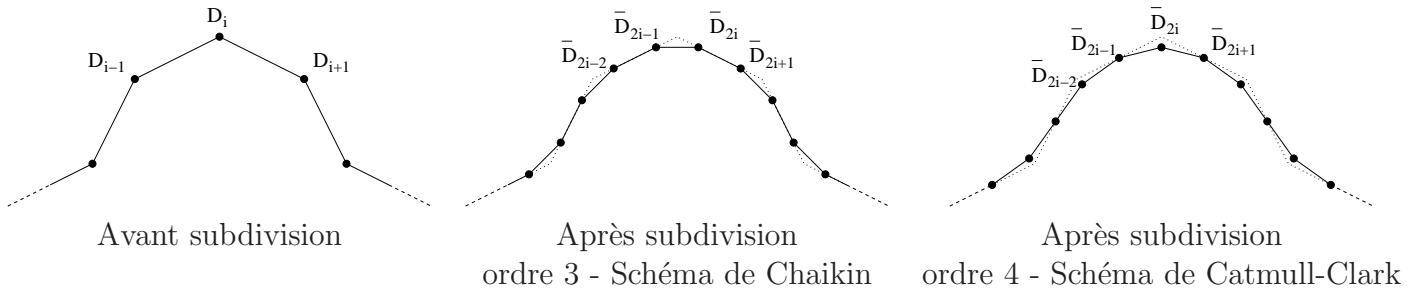
pour i variant de 0 à n : $\{P_{i-j,j,n-i}\}_{0 \leq j \leq i} \longrightarrow \boxed{(n-i) \text{ élévations de degré}} \longrightarrow \{Q_{i,j}\}_{0 \leq j \leq n}$



Passage d'une structure triangulaire à une structure rectangulaire dégénérée

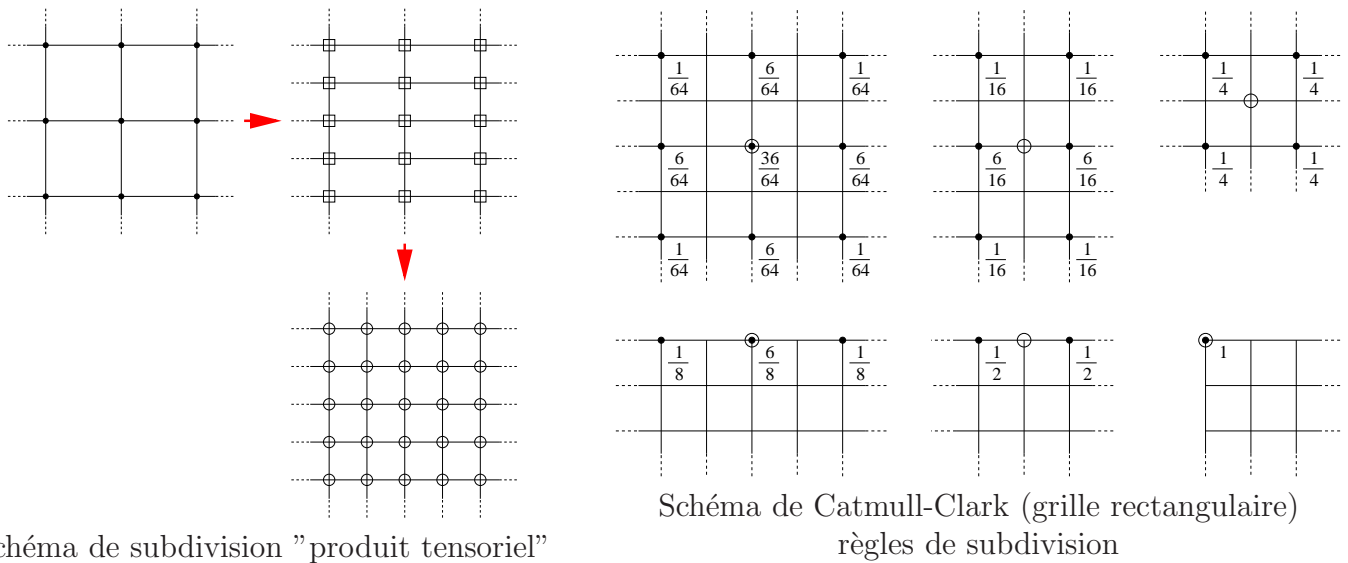
Méthodes de subdivision

Courbes de subdivision - B-spline (noeuds équidistants)



Surfaces de subdivision

Schéma de Catmull-Clark (B-spline d'ordre 4 - noeuds équidistants)



Un exemple :

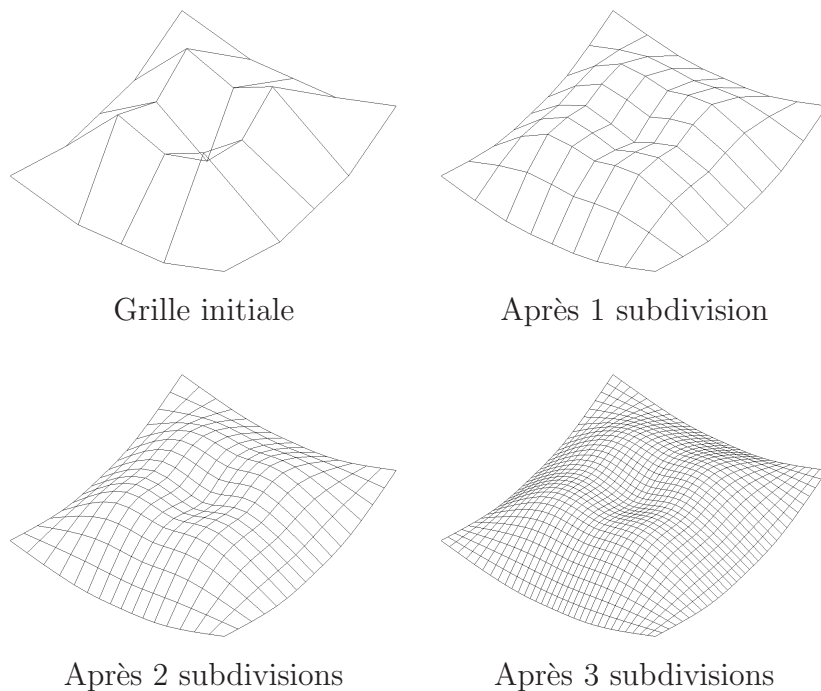
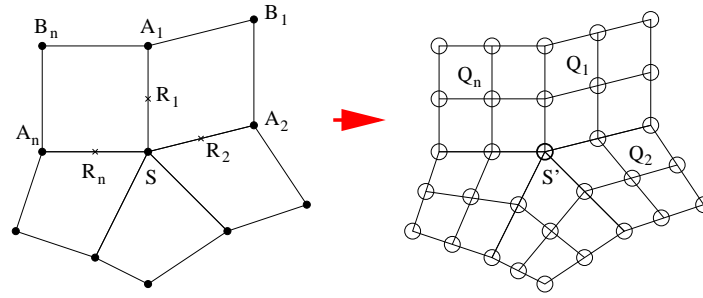


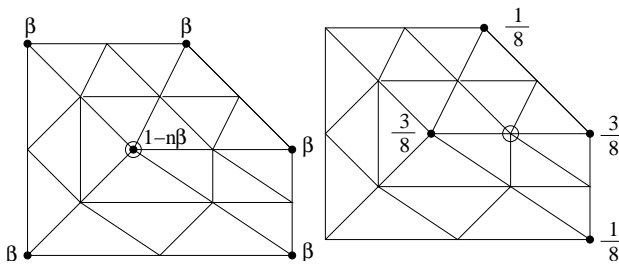
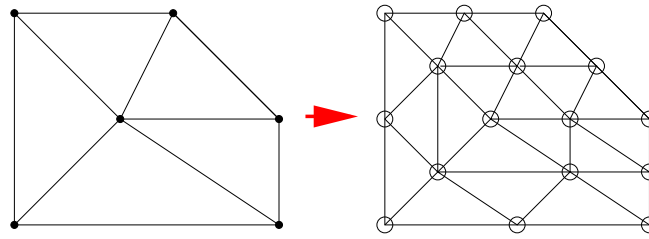
Schéma de Catmull-Clark (maillage quadrangulaire quelconque)



Règles pour les sommets internes S'

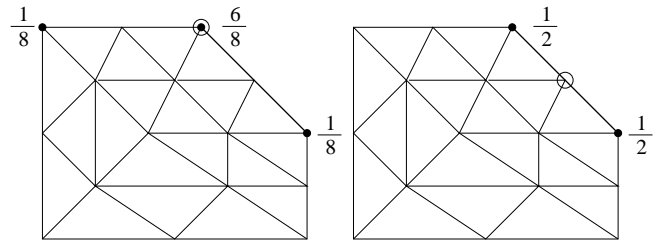
$$\left\{ \begin{array}{l} Q_i = \frac{1}{4}(A_i + B_i + A_{i+1} + S) \quad Q = \frac{1}{n} \sum_{i=1}^n Q_i \\ R_i = \frac{1}{2}(A_i + S) \quad R = \frac{1}{n} \sum_{i=1}^n R_i \end{array} \right\} \text{ et } S' = \frac{1}{n} (Q + 2R + (n-3)S)$$

Schéma de Loop (maillage triangulaire quelconque)



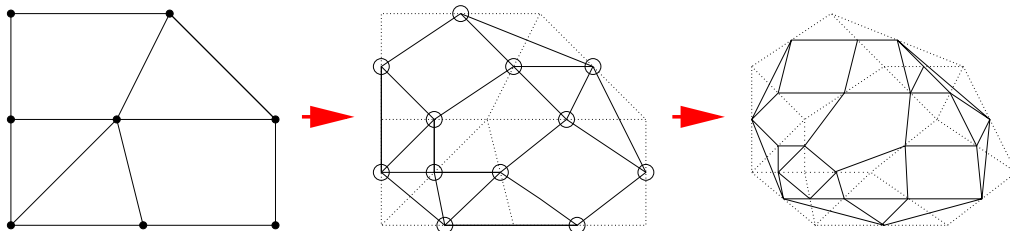
Règles pour les sommets internes

$$\beta = \frac{1}{n} \left(\frac{5}{8} - \left[\frac{3}{8} + \frac{1}{4} \cos \frac{2\pi}{n} \right]^2 \right)$$



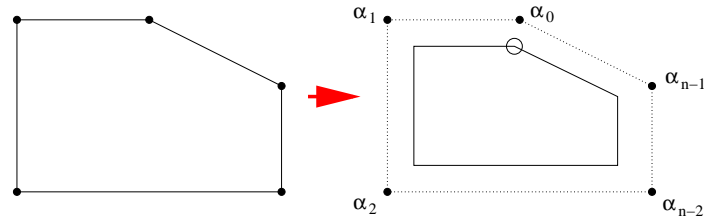
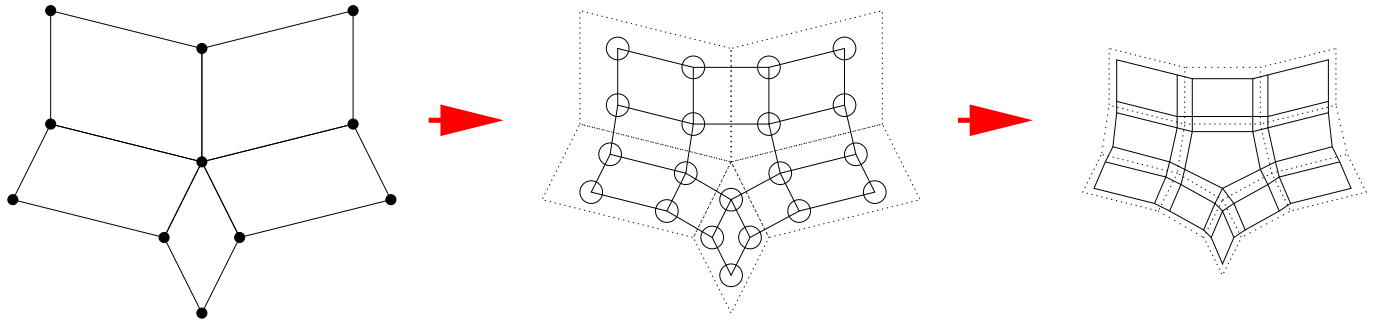
Règles pour les sommets externes

Schéma Mid-Edge (maillage quelconque)



Règle de subdivision

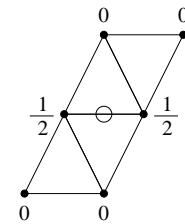
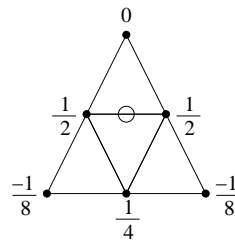
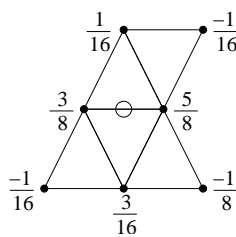
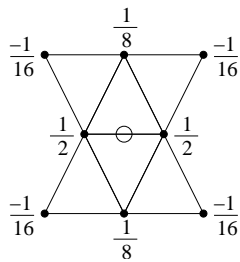
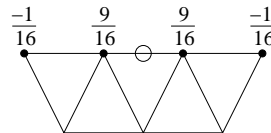
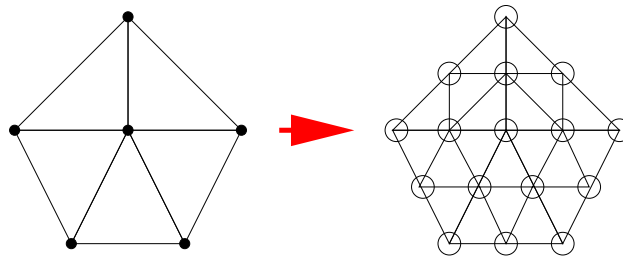
Schéma Doo-Sabin (maillage quadrangulaire quelconque)



Règle pour les sommets d'une face avec n sommets

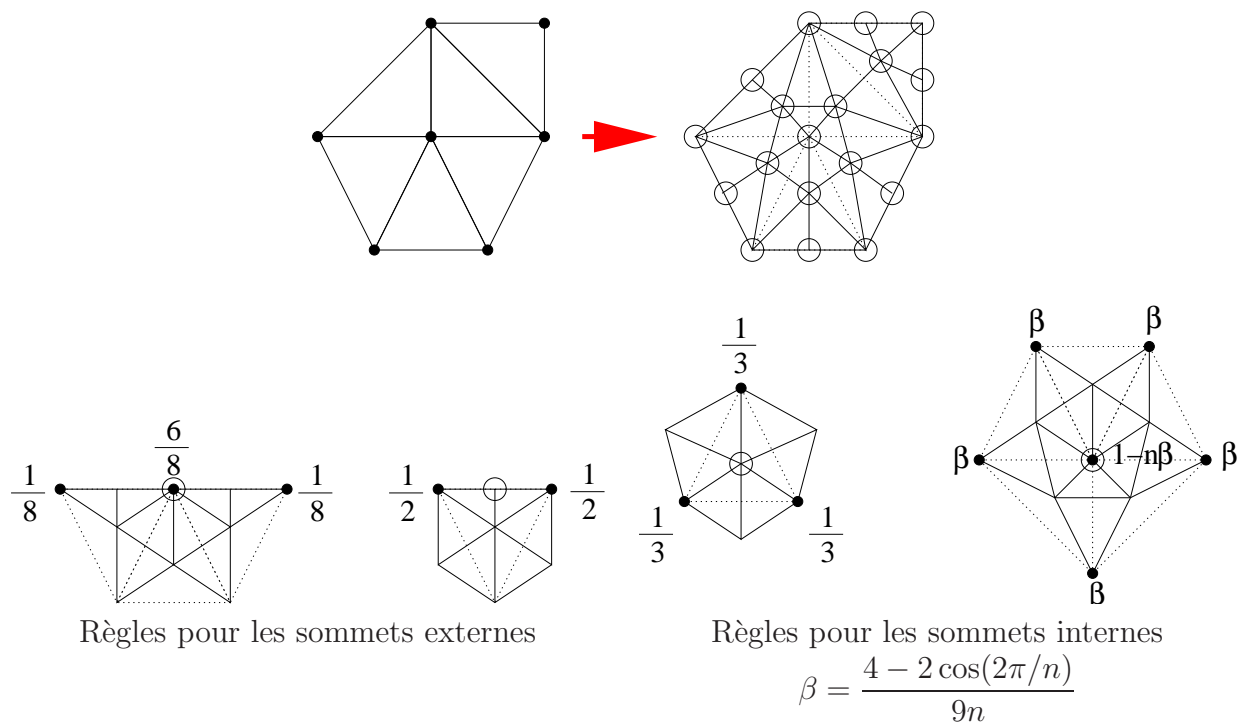
$$\alpha_0 = \frac{1}{4} + \frac{5}{4n} \text{ et } \alpha_i = \frac{3 + 2 \cos(2i\pi/n)}{4n} \text{ pour } 1 \leq i \leq n-1$$

Schéma Butterfly (maillage triangulaire quelconque)



Règles de subdivision

Schéma $\sqrt{3}$ (maillage triangulaire quelconque)



Exemples

Schéma de Loop

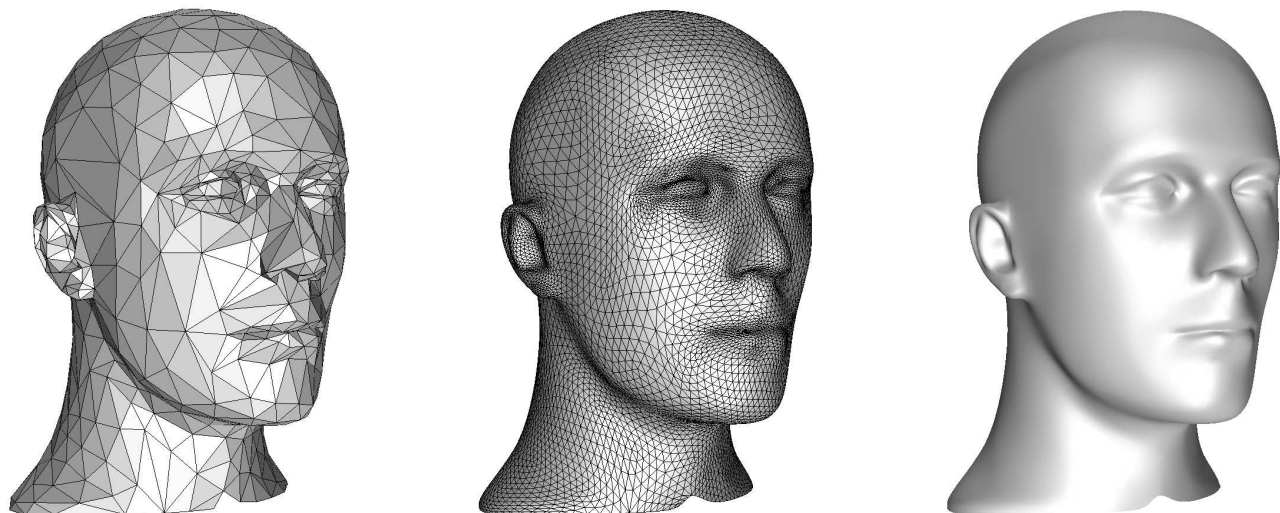


Schéma de Catmull-Clark

